

NIDDM 新候选基因 KCNA7 的 cSNP 在东北人群中的分布及意义

丁 茜,赵彦艳,董凌月,孙志军,郭 磊

(中国医科大学医学遗传学教研室,沈阳 110001)

摘要:为研究 NIDDM 新候选基因 KCNA7 的 cSNP 在东北人群中的分布及意义,本实验采用 PCR-RFLP 技术检测了 97 例 NIDDM 患者、141 例健康对照者 KCNA7 基因 T418M(C/T) 多态;并利用 SSCP 技术筛查了该位点附近其他未知 SNP。发现 KCNA7 基因 T418M(C/T) 基因型频率在正常人群中分布符合 Hardy-Weinberg 平衡,基因频率和基因型频率在 NIDDM 组和正常对照组中分布无显著性差异($P>0.05$);NIDDM 组和正常对照组中各基因型间临床生化指标无显著性差异;该位点附近尚未发现其他 SNP。结果提示,T418M(C/T) 仅为 KCNA7 基因多态性标志,但不排除 KCNA7 基因其余结构变异与 NIDDM 存在相关性的可能。

关键词:KCNA7 基因; NIDDM; 单核苷酸多态性

中图分类号:Q347

文献标识码:A

文章编号:0253-9772(2003)02-0129-04

Distribution and Significance of cSNP in KCNA7 Gene as a Novel NIDDM Candidate Gene in the Population of Northeast China

DING Qian, ZHAO Yan-Yan, DONG Ling-Yue, SUN Zhi-Jun, GUO Lei

(Department of Medical Genetics, China Medical University, Shenyang 110001, China)

Abstract: To investigate the distribution and significance of a coding single nucleotide polymorphism(cSNP)of the novel NIDDM candidate gene, KCNA7 in the population of Northeast China, 97 patients with NIDDM and 141 controls were tested. Genotypes of KCNA7 gene T418M(C/T) were performed by PCR-RFLP, and SSCP was used to detect other unknown variations near the C/T site of KCNA7 gene. As a result, no significant difference was observed in the distribution of genotypes of T418M(C/T) between NIDDM and control group. Clinical biochemical examinations showed no significant difference between genotypes in both INDDM and control group, and no other SNPs were found near the C/T site of KCNA7 gene. This study demonstrates the frequency of this cSNP complies well with the Hardy-Weinberg equilibrium in normal group, T418M(C/T) is only a polymorphic maker of KCNA7 gene, and the possibility of association between NIDDM and KCNA7 can not be excluded.

Key words: KCNA7 gene; NIDDM; single nucleotide polymorphism

NIDDM(非胰岛素依赖性糖尿病)又称 2 型糖尿病,是一种高度异质性的多基因遗传病,并且受到环境因素的影响。随着人类基因组计划的开展,其相关基因的定位和识别已成为目前的研究热点。研究发现,人胰岛素基因及线粒体基因突变与糖尿病

的发生密切相关^[1,2]。迄今为止,NIDDM 的候选基因已超过百余种^[3],如脂类代谢基因、葡萄糖代谢基因及影响胰岛素释放基因等,钾离子通道蛋白基因也是其中的一类。钾离子通道的关闭可以使细胞膜去极化,钙离子通道开放,进而引发胰岛素的释

收稿日期:2002-05-16;修回日期:2002-09-20

基金项目:国家九七三项目(G19980510)、国家自然科学基金(39970411)及教育部高等学校骨干教师资助项目([2000]65 号)

作者简介:丁 茜(1975—),女,汉族,辽宁省沈阳市人,硕士生,现从事分子遗传学研究

通讯作者:赵彦艳(1960—),女,教授,博导,专业:遗传学。电话:024-23256666-5326,E-mail:yany-zhao@hotmail.com

放^[4,5]。人类 KCNA7 基因 (Voltage-gated potassium channel-alpha, member7) 是新克隆的钾离子通道蛋白家族基因中的成员, 定位于人染色体 19q13.3, cDNA 全长为 2031bp, 有两个外显子^[6]。在本实验中, 利用 NCBI 信息库提供的资料, 在 KCNA7 编码区找到一个 cSNP, 即 T418M(C/T)。选取中国东北健康人群和 NIDDM 患者, 应用 PCR-RFLP 基因型分析, 对正常人和 NIDDM 患者的 KCNA7 基因进行病例对照研究, 并结合各项生化指标, 鉴定 KCNA7 基因 T418M(C/T) 多态性与 NIDDM 的相关性; 并且应用 SSCP 方法, 在 KCNA7 外显子中寻找其余未知 SNP, 以确定 KCNA7 基因的 cSNP 在东北人群中的分布及意义。

1 材料与方法

1.1 研究对象

正常对照组: 东北地区健康个体 141 例, 其中男 83 例, 女 58 例。平均年龄为 55±5.4 岁, 经询问病史, 检体, 及辅助检查排除糖尿病及高血压病史。糖尿病患者组: 97 例, 其中男 51 例, 女 46 例。平均年龄 53.4±3.5 岁, 均为中国医科大学第一、二临床医院 2001 年 7 月至 2002 年 2 月门诊及住院的 2 型糖尿病患者。诊断的标准参照 1997 年美国糖尿病学会(ADA) 推荐的标准。

1.2 研究方法

1.2.1 KCNA7 基因 cSNP 选择

将 GenBank 提供的 KCNA7 基因 cDNA 序列通过 BLAST 软件与 NCBI 信息库中的 EST、基因组 DNA 进行同源序列比较, 从中寻找 cSNP 位点。<http://www.ncbi.nlm.nih.gov/blastn/nr>

1.2.2 引物及酶切位点设计

全部引物设计均由在线软件 Primer3 (<http://www.genome.wi.mit.edu>) 完成, 上海生工生物工程公司合成。PCR-RFLP 引物: 上游为 5' TCCT-GAGAGTCATCCGATTGG3', 下游为 5' CACT-TGGTGACCAGGTGTT3'; PCR-SSCP 引物: 上游为 5' TCCTGAGAGTCATCCG ATTGG3', 下游为 5' GTGGGCTCTGTGCCATTGC3'。酶切位点设计网址 (<http://www.firstmarket.com/cutter/cut2.html>)。

1.2.3 DNA 提取和 KCNA7 基因型检测

(1) 取外周血 5ml, 1.8% 柠檬酸钠抗凝, 常规饱和氯化钠法抽提基因组 DNA, -4℃ 保存备用。(2)

PCR 扩增: PCR 反应总体积 25μL, 其中模板 DNA 20~50ng, 1× 缓冲液, MgCl₂ 1.5mmol/L, Taq 酶 1U, 引物各为 10pmol/L, dNTP 为 200mmol/L, 双蒸水 16.5μL, PCR 扩增反应在 GeneAmpPCR9600 上进行, 扩增参数为: 95℃ 变性 3min, 按 94℃ 变性 45s, 58℃ 退火 45s, 72℃ 延伸 45s 的条件, 30 个循环, 最后 72℃ 延伸 7min。(3) PCR 产物酶切: 取 PCR 产物 10μL 在 20 体系中, 加入 1.5U 限制酶 NspI (NEB), 37℃ 过夜消化后, 样品经 1.2% 琼脂糖凝胶电泳 45min, 电压 100V, 凝胶成像系统观察电泳结果。(4) 结果测定: 纯合子 CC 出现 542bp 1 条带, 纯合子 TT 出现 428bp 和 114bp 2 条带, 杂合子 CT 出现 542bp、428bp、114bp 3 条带, 用 100bp ladder 做 DNA 片段的标准参照物, 结果见图 1。

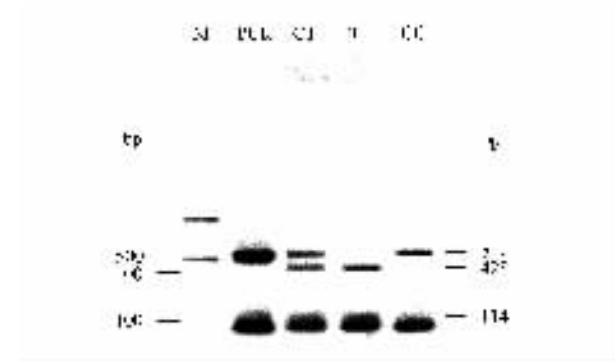


图 1 PCR 扩增的 KCNA7 基因片段经 Nsp I 限制酶酶切的琼脂糖凝胶电泳结果

M: 100bp ladder 分子质量标记; PCR: PCR 扩增产物。

Fig. 1 The RFLPs of PCR-amplified fragments of KCNA7 obtained using NspI and subjected to agarose gel electrophoresis.

M: 100bp ladder marker; PCR: product of PCR.

1.2.4 PCR-SSCP

(1) PCR 扩增: 反应体系及扩增参数同前。(2) 上样前标本处理: 取 10mL 待测 PCR 扩增产物, 加入等量变性液 (95% 甲酰胺, 0.5% 溴酚蓝, 0.5% 二甲苯氯蓝), 于 98℃ 变性 10min 后, 冰浴冷却。(3) 电泳条件: 400V 稳压, 电流 70~90mA, 功率: 20~30W 电泳 6h。电泳系统温度控制在 10℃。(4) 银染: 蒸馏水洗胶后于 10% 乙醇和 3% 乙酸中固定 15min, 清洗两遍后于 0.2% AgNO₃ 中染色 15min, 以 ddH₂O 洗涤 3 次, 以 1.5% NaOH 和 0.36% 甲醛显色, 直至条带清晰后观察。

1.3 其他生化检测

被检者均经 12h 禁食抽取外周血, 进行血糖、血脂、血清钾、钠、钙、铁等指标检测。

1.4 KCNA7 基因型和等位基因频率的统计学分析

计算每组 KCNA7 基因型和等位基因频率, 经 Hardy-Weinberg 遗传平衡定律检验各基因型和等位基因频率已达遗传平衡, 具有群体代表性, 利用 SAS 软件进行方差分析。对照组和 NIDDM 组基因型频率和等位基因频率差异用卡方检验, 各种生

化技术资料用 t 检验。

2 结 果

2.1 KCNA7 基因 T418M(C/T) 多态分布

通过 BLAST 软件发现 KCNA7 基因编码区惟一一个 cSNP, 即 T418M(C/T)。该 cSNP 在正常人群和 NIDDM 患者中的多态分布如图 1。相关分析显示 KCNA7 基因 T418M(C/T) 在正常人和 NIDDM 两组中的差异无显著性(见表 1)。

表 1 正常对照组与 NIDDM 组 KCNA7 基因 T418M(C/T) 多态分布比较

Table 1 Comparison of KCNA7 Gene T418M(C/T) polymorphism between control group and NIDDM group

人群	基因型频率			等位基因频率	
	CC	CT	TT	C	T
正常人	17(0.121)	53(0.376)	71(0.503)	0.309	0.691
NIDDM	8(0.082)	46(0.474)	43(0.443)	0.320	0.680
$\chi^2 = 2.56$		$P > 0.05$			

2.2 KCNA7 基因 T418M(C/T) 多态与临床生化指标的关系

检测正常人群和糖尿病人中的血压、血脂, 血糖和血清离子水平, 由表 2、表 3 可见。两组中 KCNA7 基因 T418M(C/T) 不同基因型间临床资料无明显差异性。

表 2 正常对照组不同基因型之间各种临床参数的比较

Table 2 Comparison of clinical parameters between different genotypes in control group

临床参数	基因型		
	CC+CT	TT	P
收缩压(mmHg)	116.79±21.47	122.34±20.54	>0.05
舒张压(mmHg)	74.62±17.84	72.35±16.03	>0.05
胆固醇(mmol/L)	4.76±1.05	4.24±1.20	>0.05
甘油三酯(mmol/L)	1.77±0.96	1.69±0.75	>0.05
高密度脂蛋白(mmol/L)	1.62±0.71	1.63±0.60	>0.05
低密度脂蛋白(mmol/L)	2.77±0.79	2.91±0.55	>0.05
血糖(mmol/L)	4.73±0.98	4.97±1.01	>0.05
血清铁(μmol/L)	15.31±6.83	15.72±7.07	>0.05
血清钙(μmol/L)	2.41±0.15	2.76±0.82	>0.05
血清钠(μmol/L)	139.75±6.34	141.08±8.33	>0.05
血清钾(μmol/L)	4.33±0.47	4.14±0.39	>0.05

2.3 KCNA7 基因 SSCP 分析结果

正常对照组和 NIDDM 组在 T418M(C/T) 附近均未发现其他序列变异。

表 3 NIDDM 组不同基因型之间各种临床参数的比较

Table 3 Comparison of clinical parameters between different genotypes in NIDDM group

临床参数	基因型		
	CC+CT	TT	P
收缩压(mmHg)	142.87±23.34	140.19±23.11	>0.05
舒张压(mmHg)	87.55±14.66	84.19±15.87	>0.05
胆固醇(mmol/L)	5.47±1.33	5.74±1.52	>0.05
甘油三酯(mmol/L)	2.38±0.89	2.17±0.83	>0.05
高密度脂蛋白(mmol/L)	1.45±0.56	1.51±0.69	>0.05
低密度脂蛋白(mmol/L)	2.68±0.92	2.57±0.88	>0.05
血糖(mmol/L)	11.11±2.01	12.04±1.85	>0.05
血清铁(μmol/L)	16.02±7.03	18.20±6.77	>0.05
血清钙(μmol/L)	2.37±0.16	2.15±0.17	>0.05
血清钠(μmol/L)	142.03±7.90	144.37±9.51	>0.05
血清钾(μmol/L)	4.21±0.36	4.04±0.26	>0.05

3 讨 论

钾离子通道家族是离子通道超家族中最大的亚家族, 该家族成员在细胞信号传导中具有重要功能, 包括调节神经递质释放、心率、神经元兴奋、上皮电解质运输、平滑肌收缩和胰岛素分泌^[7]。关于钾离子通道的基因突变与疾病的相关性不断有报道, 如婴儿持续性高胰岛素血症、心脏长 QT 综合征、大脑变性、运动失调症等^[8]。有研究表明, 钾离子通道能在葡萄糖诱导的胰岛素快速分泌相特异性地调节 β

细胞每个动作电位后的膜电位复极;钙离子浓度、ATP 对钾离子通道有调节作用^[4,5],因此可以推断,钾离子通道具有调节胰岛功能的特性,该家族的相关基因可以作为 NIDDM 的一类候选基因。

KCNA7 是新克隆的钾离子通道基因家族成员之一,人类 *KCNA7* 基因被定位在 19q13.3,该区域被认为是 NIDDM 的易感位点^[9]。动物实验研究表明,小鼠 *KCNA7* 基因在胰岛细胞和周围腺泡有表达,这不同于 *KCNA3.4* 基因,只在腺泡表达^[10],提示 *KCNA7* 基因与胰岛细胞功能更密切,可能与 NIDDM 发生、发展有一定关系。有鉴于此,我们从 *KCNA7* 基因结构变异入手,试图揭示该基因的功能与 NIDDM 的相关性。

cSNP 是编码序列的单核苷酸多态,使氨基酸序列改变的 cSNP 中 20%~30% 会影响蛋白质功能^[11~13],应用候选基因的 cSNP 进行像 NIDDM 这类多基因疾病的相关分析,可以定位和识别众多基因中的几个主基因,通过 NCBI 信息库对 *KCNA7* 基因的 cDNA、EST 和基因组 DNA 进行了同源序列比较,发现了惟一一个 cSNP 位于第二外显子,由于 C 被 T 代替,使第 418 个氨基酸由苏氨酸(T)变成了甲硫氨酸(M),根据 primer3 设计引物和限制性酶切位点变化,建立了 *KCNA7* 基因的 PCR-RFLP 方法,首次对中国东北人群的这一位点进行多态分布报道,为了证明 NIDDM 与 *KCNA7* 基因的 T418M(C/T)相关性,我们比较了病人组和对照组的 C/T 多态的基因频率和基因型频率,以及其与主要临床生化指标的关系,其结果显示无统计学意义。由于高密度的 SNP 被认为是一种能稳定遗传的早期突变,它们之间存在着连锁不平衡,因而我们试图通过 SSCP 方法在该基因的编码序列筛查其他 SNP,以便进一步进行单体型分析。虽然未查到,尚不能排除由于 SSCP 技术的灵敏性造成的漏查,也不能排除该基因编码区上下游调控序列存在 SNP;因此,对 *KCNA7* 基因结构深入研究及其表达调控和信号传导研究的开展,将有助于揭示 *KCNA7* 基因的功能和在 NIDDM 发生发展中的作用。

参 考 文 献(References):

- [1] 曹月青,周玲,韩柱,等.人胰岛素基因在体内外表达的研究[J].遗传,2002,24(4):407~409.
- [2] 周晓雷,张丽珊,黄鹰,等.线粒体基因突变与 NIDDM 发生的关系[J].遗传,1997,19(2):5~8.
- [3] Ghosh, Schork N J, et al. Genetics analysis of NIDDM-the study of quantitative traits[J]. Diabetes,1996,45:1~14.
- [4] Smith P A, Ashcroft F M, Rorsman P. Simultaneous recordings of glucose dependent electrical activity and ATP-regulated K(+)—currents in isolated mouse pancreatic beta-cells[J]. FEBS Lett,1990,261(1):187~190.
- [5] Roe M W, Worley J F 3rd, Mittal A A, et al. Expression and Function of Pancreatic β -Cell Delayed Rectifier K⁺ Channels [J]. J Biol Chem,1996,271:32241~32246.
- [6] Kashuba V I, Kvasha S M, Protopopov A I, et al. Initial isolation and analysis of the human *KvL.7* (*KCNA7*) gene, members of the voltage-gated potassium channel gene family[J]. Gene,2001,268(1~2):115~122.
- [7] Shier C, et al. Potassium channels: molecular defects, disease, and therapeutic opportunities[J]. Pharmacol Rev,2000,52:557~593.
- [8] Dukes I D, Philipson L H, et al. K⁺ channels: generating excitement in pancreatic beta-cells[J]. Diabetes,1996,45:845~853.
- [9] Mein C A, Esposito L, et al. A search for type 1 diabetes susceptibility genes in families from the United Kingdom[J]. Nat Genet,1998,19:297~300.
- [10] Katalin Kalman, Angela Nguyen, Julie Tseng-Crank, et al. Genomic Organization, Chromosomal Localization, Tissue Distribution, and Biophysical Characterization of a Novel Mammalian Shaker-related Voltage-gated Potassium Channel, *KvL.7*[J]. J Biol Chem,1998,273(10):5851~5857.
- [11] Chasman D, Adams R M. Predicting the functional consequences of non-synonymous single nucleotide polymorphisms: structure-based assessment of amino acid variation[J]. JMB, 2001,307:683~706.
- [12] Sunyaev S, Ramensky V, Koch I, et al. Prediction of deleterious human alleles[J]. Hum Mol Genet,2001,10:591~597.
- [13] Ng P C, Henikoff S. Predicting deleterious amino acid substitutions[J]. Genome Res,2001,11:863~874.